

فعالیت کاتالیتیک DNA در یک واکنش انتقال الکترون و نقش مهاری فلزات نیکل (II) و سرب (II) در این واکنش

بیژن فرزامی^۱، رمضان صادقی، سیده زهرا بطحائی، فخرالدین تقسی نژاد، محمود قاضی خوانساری

استفاده شده است (۳). این روش برای اندازه‌گیری انفجار اکسیداتیو نوتروفیل‌ها نیز به کار گرفته شده است (۴).

ماهیت واکنش تبدیل DCF به LDCF از طرفی DNA دو مثل H_2O_2 , نقل و انتقالات الکترونی است (۲). از طرفی DNA دو رشته‌ای به صورت یک ریسمان هادی الکترون شناخته شده است، به طوری که در دو سر آن اختلاف پتانسیل وجود (۵). مطالعات قبلی نشان داده که کارنوزین به عنوان یک دی‌پیتید درونزا نقش ضد اکسیدکنندگی و حذف کنندگی رادیکال‌های آزاد را دارد (۶).

در مطالعه حاضر اثر DNA و کارنوزین بر واکنش مزبور مورد بررسی قرار گرفت، تا مشخص گردد که وجود DNA در واکنش انتقال الکترون دارای چه نوع تأثیری است و کارنوزین نیز چه اثری بر آن دارد. از آنجا که برخی فلزات دو ظرفیتی به DNA متصل شده و بارهای منفی گروه‌های فسفات آن را خنثی می‌کنند، پس مطالعه اثر این فلزات در واکنش فوق نیز از اهمیت ویژه‌ای برخوردار می‌باشد و به درک صحیح و دقیق مکانیزم کمک خواهد کرد. سؤال اصلی این مطالعه، بررسی نقش DNA در یک واکنش انتقال الکترون (تبدیل DCF به LDCF) در حضور ترکیباتی مثل کارنوزین و کاتیون‌های فلزی دو ظرفیتی می‌باشد.

روشها

مواد. دی استیل - ۷٪ دی کلروفلورسین (LDADCF) و کارنوزین از شرکت سیگما تهیه شد. هماتین، آب اکسیژنه و نمک‌های فلزی از شرکت Merck DNA تهیه شد. براساس روش ارائه شده قبلی، از تیموس گوساله استخراج و خالص‌سازی شد (۸). سایر مواد مورد نیاز نیز همگی از شرکت‌های معتبر تهیه و از خلوص بسیار بالا برخوردار بود.

این تحقیق با استفاده از روش فلوریمتری و با دستگاه اسپکتروفلوریمتر مدل Shimadzu RF-5000 انجام شد. در این روش سرعت اکسید شدن دی کلروفلورسین در مجاورت پراکسید هیدروژن و هماتین (به عنوان تسهیل کننده) و تبدیل آن به ترکیب فلورسانست دی کلروفلورسین در حضور مواد مختلفی از جمله DNA تیموس گوساله، کارنوزین و نمک یون‌های فلزی سرب (II) و نیکل (II) مورد بررسی قرار گرفت.

آزمایش‌های طیف نور سنجی با استفاده از دستگاه اسپکتروفتومتر

چکیده مقاله
مقدمه. نیکل و سرب فلزاتی هستند که با مکانیسم‌های متفاوتی بر سیستم‌های بیولوژیکی اثر می‌گذارند. در این تحقیق مشاهده شد که DNA در یک واکنش انتقال الکترون به صورت یک آنزیم عمل می‌کند. در این واکنش دی کلروفلورسین غیر فلورسانست (LDCF) در حضور پراکسیدها و هماتین به دی کلروفلورسین فلورسانست (DCF) تبدیل می‌شود.

روشها. در این مطالعه از روش فلوریمتری استفاده شد. اثر pH بر واکنش، مورد بررسی قرار گرفت و بیشترین نشر DCF در بافر تریس ۵/۰ مولار با pH برابر ۸/۰ به دست آمد.

نتایج. DNA و کارنوزین واکنش تبدیل DCF به LDCF را کاتالیز می‌کنند و نحوه عمل آنها تشدید انتقال الکترون است. کارنوزین در ارتباط با عمل کاتالیز کننده‌ای DNA نقش یک کوفاکتور را دارد. در این واکنش نیکل (II) و سرب (II) مهار کننده‌های قوی هستند و این نتیجه‌گیری با اندازه‌گیری پارامترهای کیتیکی در حضور و در غیاب لیگاند‌های مذکور تأیید شد. بحث. DNA دو رشته‌ای دارای خواص الکتریکی است و در تبدیل دی کلروفلورسین غیرفلورسانست به نوع فلورسانست به صورت یک کاتالیزور عمل می‌کند. کارنوزین یک دی‌پیتید درونزا است که برای آن نقش‌هایی از جمله خواص ضد اکسیدکنندگی و حذف کنندگی رادیکال‌های آزاد شناخته شده است. این دی‌پیتید نقش مهمی در پیشرفت واکنش انتقال الکترون دارد. در ضمن نیکل (II) و سرب (II) مهار کننده‌های واکنش محسوب می‌گردند. این فلزات به عنوان گیرنده الکترون، سبب مهار واکنش انتقال الکترون می‌شوند. این پدیده ممکن است با خواص سرطان‌زا ای آنها مرتبط باشد.

• واژه‌های کلیدی. دی کلروفلورسین فعال (LDCF)، دی کلروفلورسین فلورسانست (DNA)، کارنوزین، نیکل (II) و سرب (II)

مقدمه

دی استیل دی کلروفلورسین (LDADCF) در محیط قلیائی هیدرولیز می‌شود و به ترکیب فعالی دی-کلروفلورسین (LDCF) تبدیل می‌گردد. این ترکیب در مجاورت اکسید کننده‌ها با از دست دادن یک الکترون اکسید شده و در نهایت به دی کلروفلورسین فلورسانست (DCF) تبدیل می‌شود. از این واکنش در موارد مختلفی برای اندازه‌گیری مقادیر بسیار جزئی ترکیباتی مثل هیدروپراکسیدها از جمله هیدروپراکسیدهای لیپیدی (۱، ۲)، اندازه‌گیری آب اکسیژنه در فرآیند سلولی و همچنین در سیستم آنزیمی گلوکز اکسیداز

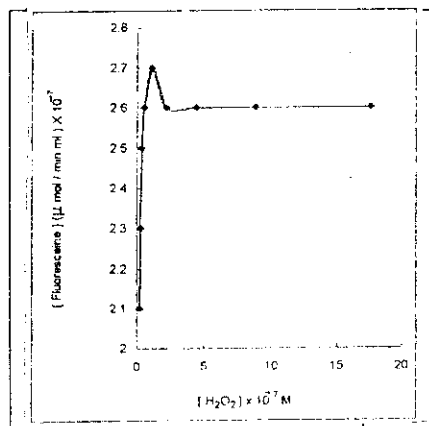
۱- گروه بیوشیمی، دانشکده پزشکی، دانشگاه علوم پزشکی تهران.

بافر تریس به حجم ۵۰ میلی لیتر رسید و به مدت ۱۵ دقیقه جوشانده و زیر شیر آب سرد شد (محلول ب).

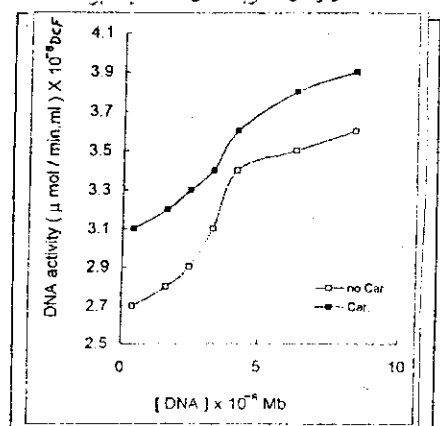
در ویال های ۴ میلی لیتری، ۲/۵ میلی لیتر محلول «ب» با حجم مناسبی از محلول «الف» و H_2O_2 با نسبت یک به یک محلوط گردید. در نهایت DNA، کارنوزین یا یون های فلزی نیز به محلول فوق اضافه شد. سپس نمونه ها در حرارت ۵۰ درجه سانتی گراد به مدت ۵۰ دقیقه انکوبه گردید. سپس نمونه ها زیر شیر آب سرد شده و فلورسانس نسبی آنها اندازه گیری شد. طول موج تحریکی و نشری به ترتیب ۴۹۶ و ۵۲۱/۶ نانومتر تعیین شد.

نتایج

در این مطالعه ابتدا اثر غلظت LDCF در حضور غلظت ثابتی از هماین و آب اکسیژنه بر تولید DCF فلورسانست، بررسی شد. همان طور که در نمودار ۱ ملاحظه می شود، با افزایش غلظت LDCF تولید محصول دارای نشر



نمودار ۲. اثر افزایش غلظت آب اکسیژنه بر واکنش DCF. غلظت DCF در نمونه 1×10^{-7} مولار بود. غلظت آب اکسیژنه از 1×10^{-7} تا 17×10^{-7} مولار متغیر بود. دما 50°C و زمان انکوبه شدن ۵۰ دقیقه بود.

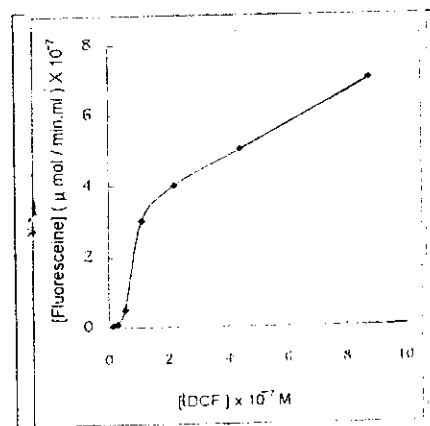


نمودار ۴. اثر افزایش غلظت DNA بر واکنش DCF در غیاب کارنوزین (□) و در حضور 1×10^{-7} مولار از آن (■). غلظت LDCF و آب اکسیژنه در نمونه ها 1×10^{-6} مولار بود. یک گروه از نمونه ها فاقد کارنوزین و در گروه دیگر غلظت ثابتی برابر 1×10^{-6} مولار از آن وجود داشت. دما 50°C و زمان انکوبه شدن ۵۰ دقیقه بود.

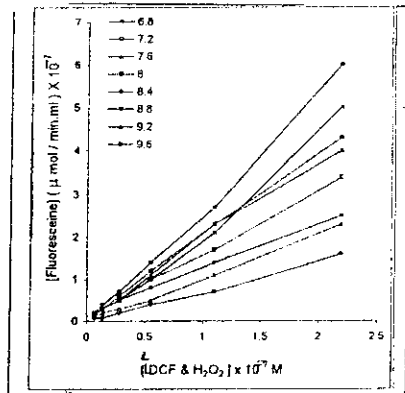
Shimadzu مدل ۱۳۰۱، جهت تعیین غلظت محلول های DNA و آب اکسیژنه به ترتیب در طول موجهای 260° و 240° نانومتر با احتساب ضرائب جذب $1320 \text{ M}^{-1} \text{ cm}^{-1}$ و $0.394 \text{ M}^{-1} \text{ cm}^{-1}$ آنجام شد.

تهیه محلول ها. ابتدا محلول ذخیره یک میلی مولار LDADCF در اتانول مطلق تهیه و در یخچال نگهداری شد. در روز آزمایش یک حجم از محلول فوق با چهار حجم سود $0/01$ نرمال محلوط و به مدت ۳۰ دقیقه در دمای آزمایشگاه انکوبه شد تا در اثر هیدرولیز، فعال گردد. سپس به مقدار کافی بافر تریس $0/05$ مولار با pH I برابر $4/8$ به آن اضافه شد تا حجم نهایی به ۱۰ میلی لیتر برسد (محلول الف).

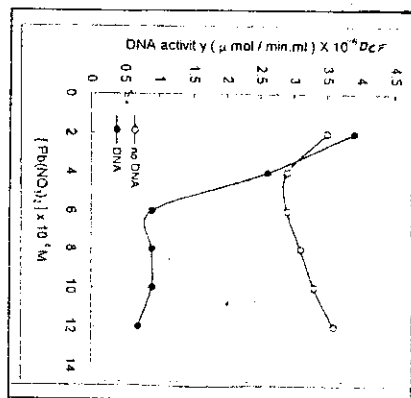
محلول هماین ذخیره با غلظت یک میلی گرم در $0/5$ میلی لیتر سود $0/2$ نرمال تهیه شد. سپس با مقدار کافی از بافر تریس به حجم 100 میلی لیتر رسید و در حجم های $6/5$ میلی لیتری در فریزر نگهداری شد. برای هر بار آزمایش، یکی از نمونه های فوق از فریزر خارج و پس از ذوب شدن با



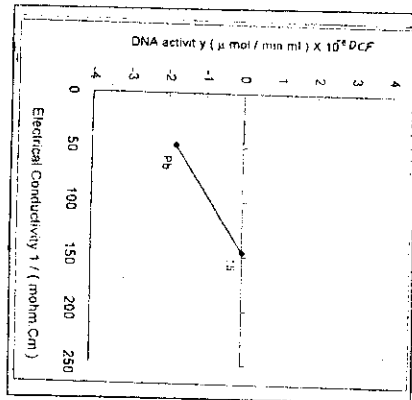
نمودار ۱. اثر افزایش غلظت دی کلورو فلورسانین (DCF) بر واکنش در حضور غلظت ثابتی از آب اکسیژنه. غلظت DCF از $0/14 \times 10^{-7}$ تا $8/8 \times 10^{-7}$ مولار متغیر بود. غلظت آب اکسیژنه $1/1 \times 10^{-7}$ مولار در هر نمونه بود. دما 50°C و زمان انکوبه شدن ۵۰ دقیقه بود.



نمودار ۳. اثر افزایش pH محیط بر واکنش DCF غلظت DNA و آب اکسیژنه در هر نمونه مساوی و از $0/2 \times 10^{-7}$ تا 2×10^{-7} مولار متغیر بود. pH واکنش نیز از $6/8$ تا $9/6$ متغیر بود.



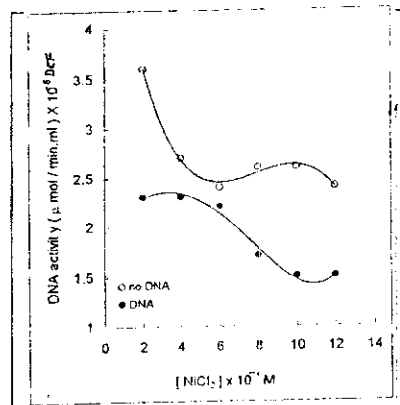
نمودار ۶. اثر افزایش غلظت نیترات سرب (III) بر واکنش DCF در غیاب DNA (○) و در حضور 4×10^{-6} مولار باز آن (●). غلظت DCF و آب اکسیژنه در نمونه ها 1×10^{-4} مولار بود. غلظت نیترات سرب (III) در هر دو گروه نمونه از 2×10^{-4} تا 12×10^{-4} مولار متغیر بود. یک گروه از نمونه ها فاقد DNA و در گروه دیگر غلظت ثابتی برابر 4×10^{-6} مولار از آن وجود داشت. دما 50°C و زمان انکوبه شدن ۵ دقیقه بود.



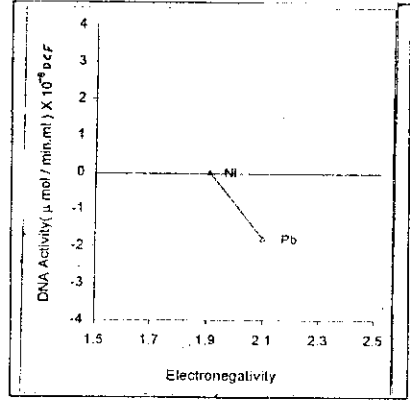
نمودار ۷. ارتباط بین هدایت الکترونی یون های فلزی سرب (III) و نیکل (II) و اثر آن روی فعالیت DNA (واکنش DCF).

نمودار ۷ مورد بررسی قرار گرفت. نمودار ۴ (منحنی نشاندار با مرتع توخالی) نشان می دهد که میزان نشر و به عبارتی، تولید DCF در خصوص DNA افزایش یافته است. اثر کارتوزین بر واکنش نیز در حضور DNA مورد بررسی قرار گرفت. همان طور که منحنی ترسیم شده با مرتع های تویر در نمودار ۴ نشان می دهد، حضور این ترکیب نیز موجب افزایش تولید محصول شده است. بررسی ها نشان داد، که کارتوزین به تنها بی نیز واکنش را تسريع می کند ولی نه به اندازه ای که در حضور DNA این اثر را دارد (داده ها نشان داده نشده است).

اثر نیکل (II) و سرب (III) نیز به صورت نمک های محلول (به ترتیب کلرید و نیتریت)، بر واکنش فوق در حضور و غیاب DNA مورد بررسی قرار گرفت. نمودارهای ۵ و ۶ نشان می دهد که با افزایش غلظت هر یک از دو نمک فلزی، ابتدا نشر کاهش می یابد و سپس به مقدار ثابتی می رسد که حاکی از اشباع جایگاه توسط یون مربوط است.



نمودار ۸. اثر افزایش غلظت کلرید نیکل (II) بر واکنش DCF در غیاب (○) و در حضور 4×10^{-6} مولار باز آن (●). غلظت DCF و آب اکسیژنه در نمونه ها 1×10^{-4} مولار بود. غلظت نیکل (II) در هر دو گروه نمونه ها فاقد DNA و در گروه دیگر غلظت ثابتی برابر 4×10^{-6} مولار از آن وجود داشت. دما 50°C و زمان انکوبه شدن ۵ دقیقه بود.



نمودار ۹. ارتباط بین الکترونگاتیوی یون های فلزی سرب (III) و نیکل (II) و اثر آن روی فعالیت DNA (واکنش DCF).

افزایش یافته ولی بعد از غلظت خاصی (1×10^{-7} مولار)، شب منحنی کاهش یافته است. تغییر شبیب به دلیل محدود بودن غلظت های همانین و آب اکسیژنه در نمونه است.

در مرحله بعد، اثر غلظت آب اکسیژنه بر واکنش مورد بررسی قرار گرفت. نمودار ۲ نشان می دهد که بهترین غلظت آب اکسیژنه در واکنش فوق، 1×10^{-7} مولار است.

به منظور بررسی اثر pH بر واکنش، بافرهای تریس با غلظت یکسان ولی در محدوده pH بین $8/4$ تا $9/6$ تهیه و تمام مراحل واکنش در هر یک از این بافرها انجام شد. نتایج این بررسی در نمودار ۳ نشان داده شده است. همان طوری که ملاحظه می شود در pH برابر $8/4$ بیشترین میزان نشر فلورسانس وجود دارد. پس در ادامه مطالعات این pH برای کار انتخاب شد.

همان طور که در مقدمه ذکر شد، از آنجا که DNA یک ماکرومولکول دارای اهمیت کتریکی است، اثر غلظت های مختلف آن بر واکنش تبدیل

بحث

دارد و قادر است الکترون‌ها را به DNA دو رشته‌ای هادی، برساند. نمودارهای ۵ و ۶ نشان می‌دهند که نیکل و سرب تولید DNA را کاهش می‌دهند ولی این اثر مهاری در حضور DNA بیشتر از حالت قبل است. براساس نتایج به دست آمده، اثر مهاری سرب به مراتب قوی‌تر از نیکل است. علت اصلی این اثرات مهاری را می‌توان به وجود اریتال‌های خالی در ساختار اتمی دو فلز مربوط دانست. به طوری که این دو فلز به عنوان مخزن دریافت الکترون عمل کرده، قادرند واکنش انتقال الکtron را که توسط DNA کاتالیز شده است، مهار نمایند. همچنین اثرات شدیدتر سرب نسبت به نیکل در مهار واکنش، مربوط به الکترون‌گاتیویته بیشتر سرب نسبت به نیکل است که این ارتباط نمودار ۷ نشان داده شده است. از طرفی قابلیت هدایت (Conductivity) سرب کمتر از نیکل است. یعنی الکترون‌ها را بیشتر به تله می‌اندازد و از تحرک آنها جلوگیری می‌کند. نمودار ۸ میان این نکته است که سرب با هدایت الکتریکی کمتر، اثر مهاری بیشتری بر واکنش انتقال الکترون توسط DNA اعمال می‌کند.

در حقیقت، شاید بتوان اثرات سرطان‌زای این فلزات را به همین خواص ساختاری آنها مرتبط دانست. یعنی این فلزات قابلیت مهار حرکت الکترون‌ها در DNA دو رشته‌ای را دارند و از این طریق اثرات سMI خود را اعمال می‌نمایند. مشابه این پدیده در DNA دو رشته‌ای، وقتی که دو ریشه‌گوانین در کنار هم قرار گرفته باشند، نیز مشاهده شده است (۱۱، ۱۰).

با توجه به اهمیت مکانیزم‌های فوق، مطالعات بیشتری در ارتباط با فعالیت‌های کاتالیتیکی DNA و اثرات لیگاندهای مختلف فلزی و غیرفلزی، سرب واکنش‌های مشابه، در رابطه با نقش‌های بیولوژیکی DNA، ضروری به نظر می‌رسد.

با توجه به داده‌های فوق، مکانیزمی می‌توان ارائه داد که براساس آن، DNA دو رشته‌ای به عنوان کاتالیزور در واکنش تبدیل دی‌کلروفلورسین (LDCF) به دی‌کلروفلورشین (DCF) عمل می‌کند و سرعت واکنش را از $1.2 \times 10^{-3} \mu\text{M}/\text{min.ml}$ به $1.8 \times 10^{-3} \mu\text{M}/\text{min.ml}$ افزایش می‌دهد. در این واکنش، کارنوزین نقش کوفاکتور را به عهده دارد و نیکل و سرب با داشتن اریتال‌های خالی و جذب الکترون‌ها، مهار کننده‌های آن محسوب می‌گردند. اثرات سرب بر مهار واکنش، به دلیل الکترون‌گاتیویته بیشتر و هدایت الکترونیکی کمتر، بیش از نیکل است.

همان طور که ذکر شد برای اولین بار در سال ۱۹۶۵ از واکنش تبدیل DCF به DCF دارای نشر فلورسانس برای اندازه‌گیری مقادیر کم آب اکسیژنه، در حضور پراکسیداز استفاده شد (۲). این روش در سال ۱۹۸۳ پس از انجام تغییراتی بهینه شد و به این ترتیب توانستند هیدروپراکسیدهای زیادی از جمله هیدروپراکسید کلسترول و هیدروپراکسید لیپید را اندازه‌گیری نمایند (۱). در این بهینه سازی از همانین به جای پراکسیداز به عنوان تسهیل کننده واکنش استفاده شد و نسبت ۱:۱ برای آب اکسیژنه: LDCF به عنوان مناسبترین غلظت، انتخاب شد. آزمایش‌های فوق در بافر فسفات با pH برابر ۷/۲ انجام شده بود (۲، ۱).

مطالعات قبلی هیدروکسیله شدن ازت ۷-گوانین در ساختار DNA توسط آب اکسیژنه را نشان داده بود (۹). به منظور بررسی مکانیزم این واکنش و اثبات حضور یکی از حد واسطه‌های رادیکال آزاد یا سوپراکسید، استفاده از سوپراکسید دیسموتاز هیچگونه موقفيتی در پی نداشت. همچنین نشان داده شده بود که هیدروکسیله شدن گوانین در حضور کارنوزین و نیکل تشدید می‌گردد (۹).

با توجه به موارد فوق، مطالعه حاضر به منظور بررسی اثر DNA در حضور کارنوزین بر واکنش اکسید شدن LDCF و تولید DCF دارای نشر انجام شد. همان طور که از نمودارهای ۱ و ۲ بر می‌آید، نسبت استوکیومتری یک به یک بین LDCF و H_2O_2 در واکنش برقرار می‌باشد. هر چند که غلظت بهینه به دست آمده در این آزمایش بامطالعات قبلی متفاوت است (۱، ۲). بهترین pH برای انجام واکنش نیز pH برابر ۸/۴ در بافر تریس بدست آمد که با شرایط مطالعات قبلی که pH برابر ۷/۲ در بافر فسفات بود (۱، ۲)، متفاوت است و افزایش نشر بیشتری در شرایط فعلی مشاهده می‌گردد. همچنین با توجه به نمودار ۴، می‌توان نتیجه گرفت که در واکنش فوق DNA نقش کاتالیزوری دارد و در حضور آن سرعت واکنش افزایش می‌یابد. شکل نمودار نیز سیگموئیدی به نظر می‌رسد، که این امر حاکی از متعاون بودن واکنش در حضور این کاتالیزور است. با توجه به شناختی که از ساختار و خواص کارنوزین در دست است و از آنچه‌ای که در حضور این ترکیب سرعت واکنش به مراتب از غیاب آن بیشتر است، بنا بر این می‌توان ادعا کرد که کارنوزین نیز به عنوان کوفاکتور در مکانیزم فوق دخالت

مراجع

- 1- Cathcart R, Shwiers E, Ames BN. Detection of Picomole levels of hydro peroxides using a fluorescent dichlorofluorescein assay. *Anal Biochem* 1963; 134: 111-116.
- 2- Keston AS, Brandt R. The fluorometric analysis of ultramicro quantities of hydrogen peroxide. *Anal Biochem* 1969; 11: 1-5.
- 3- Black M, Brandt RB. Spectrofluorometric analysis of hydrogen peroxide. *Anal Biochem* 1974; 58: 246-254.
- 4- Bass DA, Parce W, Dechatelet LR, Szejda P, Seeds MC, Thomas M. Flow Cytometric studies of oxidative product formation by neutrophils: a graded response to membrane stimulation. *J Immunol* 1983; 130: 1910-1917.

- 5- Ben C. Live Wire. *New Scientists* 1998; 243: 12-5.
- 6- Hipkiss AR. Carnosine, a protective anti-aging peptide. *Int J Biochem* 1995; 30: 863-868.
- 7- Quinn P, Boldyrev AA, Formazuyk VE. Carnosine: its properties, functions and potential therapeutic applications. *Mol Aspects Med* 1992; 379.
- 8- Bathaei SZ, Moosavi-Movahedi AA, Saboury AA. Energetic and binding properties of DNA upon interaction with dodecyl trimethylammonium bromide. *Nucl Acids Res* 1999; 27: 1001-1005.
- 9- Datta AK, Shi X, Kasprazak KS. Effect of carnosine, homocarnosine and anserine on hydroxylation of the guanine moiety in 2 - deoxyguanosine, DNA and nucleohistone with hydrogen peroxide in the presence of Ni. *Carcinogenesis* 1993; 14: 417-422.
- 10- Thomas J. Damage Control. *New Scientist* 7 Feb, 1998.
- 11- Hall DB. Oxidation DNA damage through long range electron transfer. *Nature* 1996; 382: 731.